

УДК: 532.5.013.4

Режимы течения термовязкой жидкости в плоском неизотермическом слое*

Ю.М. Куликов, Э.Е. Сон

Объединенный институт высоких температур РАН, Москва

E-mail: kulikov-yurii@yandex.ru; son.eduard@gmail.com

В работе подробно обсуждается постановка задачи о расчете трехмерного течения термовязкой жидкости в приближении слабой сжимаемости в кубической области, заключенной между плоскими стенками с различной температурой. В двух других направлениях задаются периодические граничные условия, причем в одном из них поддерживается постоянный перепад давления для сохранения напорного течения. Такая постановка позволяет проследить за эволюцией начальных возмущений, накладываемых на основное течение. Развитие течения зависит от характеристик возмущения, в данном случае рассматривается вырожденный одномерный шум, дивергенция которого равна нулю (далее — дивергентный шум), который затем фильтруется с помощью специального корреляционного фильтра. При использовании недивергентного шума необходимо применение алгоритма восстановления соленоидальности случайного поля скорости. По результатам моделирования установлено, что развитие случайного поля возмущений может приводить к двум качественно различным исходам: в первом случае — относительно малой интенсивности возмущений — происходит смена формы профиля скорости, связанная с исчезновением точки перегиба и увеличением расходных характеристик в 1,5–1,6 раза, во втором случае начинается турбулизация течения, сопровождаемая разрушением ядра потока и существенным падением расходных характеристик. В обоих исходах выход на стационарный режим течения — фактический в первом случае (в смысле неизменности полей скоростей) и статистический — во втором — происходит достаточно долго: до $t \sim 200$ в безразмерных единицах. Анализ течения проводится на основе интегральных кривых кинетической энергии и энтропии, а также с помощью пространственного усреднения полученных массивов данных.

Ключевые слова: термовязкость, точка перегиба, случайный шум, смещение, корреляционный фильтр, коррекция дивергенции, турбулентность.

Введение

Изучение турбулентности обусловлено как фундаментальной значимостью этого явления, представляющего собой единственную нерешенную проблему классической физики [1], так и практической необходимостью решения инженерных задач механики жидкости и газа. Существование в уравнениях Навье–Стокса, являющихся базовыми для описания турбулентности, одновременно диссипативных и нелинейных членов определяет многообразие свойств турбулентного течения, таких как неорганизованное хаотическое поведение, кажущееся случайным, широкий диапазон пространственных и временных масштабов, наличие развитой завихренности, перемежаемость во времени и пространстве. Не останавливаясь на простом перечислении свойств, приведем одно

* Работа выполнена в рамках Государственной научной программы ОИВТ РАН по направлению № 15 «Исследование электрофизических и тепловых процессов в многофазных и реагирующих средах», проект № 01201357834.

из наиболее современных определений турбулентности [1], под которой в математическом смысле подразумевается любое хаотическое решение трехмерных уравнений Навье–Стокса, оказывающееся чувствительным к начальным данным и являющееся результатом последовательности неустойчивостей ламинарного течения, возникающей в том случае, когда бифуркационный параметр последовательно принимает значения из монотонно возрастающей последовательности. Это определение, на взгляд авторов, является развитием соображений, приведенных в работе [2]. Кроме того, из него неявно следует, что количественные характеристики турбулентности определяются условиями ее возникновения, в частности, характеристиками начальных возмущений и ламинарно-турбулентного перехода.

Расчет течения проводился на основе собственной реализации схемы КАБАРЕ, использующей приближение слабой сжимаемости. Начало этому методу было положено в работах [3, 4]. В настоящее время данный подход используется для решения задач различной сложности в газовой динамике [5], акустике [6], течениях с химическими реакциями [7], несжимаемой жидкости [8]. В работах [9–14] изучались течения термовязкой жидкости (ТВЖ), проявляющие необычные свойства в неоднородных температурных полях.

Предлагаемая работа является развитием опыта применения приближения слабой сжимаемости как к свободным сдвиговым течениям, так и к течениям в канале. В частности, в статье [15] было показано, что профиль скорости течения ТВЖ может содержать точку перегиба, положение которой для данного флюида определяется только лишь перепадом температур ΔT поперек канала, входящим в состав безразмерного параметра α . Последний также определяет и резкую зависимость длины установления при изменении α . Вариация этого параметра, кроме того, сильнейшим образом влияет на кривые нейтральной устойчивости, сдвигая их в область малых чисел Рейнольдса Re и область длинноволновых возмущений [16].

В работе [17] было проведено моделирование процесса смешения в плоском канале, вызванного воздействием гармонических возмущений. На примере эволюции свободного сдвигового слоя качественно подтверждены [18] основные экспериментальные результаты работы [19]. Свойства трехмерной (текущей) реализации схемы обсуждались на примере моделирования задачи Тейлора–Грина [20].

Как показывает опыт использования явной схемы КАБАРЕ в приближении слабой сжимаемости [21], расчет задачи установления течения занимает большое количество времени и в трехмерном случае оказывается чрезмерно ресурсозатратным. При рассмотрении трехмерного течения такая постановка задачи кажется не очень удачной, так как в этом случае не удастся выполнить массовый счет при различных параметрах. Для преодоления указанной проблемы можно задавать готовый аналитический профиль скорости в термовязком течении, реализующийся при данном перепаде давления. В двумерных расчетах [17] возмущения поперечной скорости переносились основным потоком от входной границы и вызвали «разрушение» течения на дистанции 20 калибров. В этом случае также фактически решалась задача установления течения, в котором наблюдались пространственно-периодические структуры.

В настоящей работе последовательно излагаются общая постановка задачи, связанная с заданием согласованного поля скорости; алгоритм задания случайного солениодального шума с требуемой корреляционной длиной, а также постановка периодических граничных условий в плоском слое с сохранением градиента давления. Далее приводятся краткие комментарии касательно программной реализации и анализ пространственного усреднения некоторых режимов течения.

1. Постановка задачи

1.1. Распределение скорости основного течения и поля температуры

Расчет течения термовязкой жидкости, динамическая вязкость которой является резкой функцией температуры T , —

$$\mu = \mu_0 e^{\beta(T-T_0)/T_0}, \quad (1)$$

где μ_0 и T_0 — реперные значения вязкости и температуры, проводится в трехмерной кубической области размером $L_X = L_Y = L_Z = L$, периодически продолженной в направлениях X и Y , но ограниченной в направлении Z стенками с различной температурой: T_0 — на нижней стенке и $T_0 + \Delta T$ — на верхней стенке, на которых устанавливается условие прилипания жидких частиц. Профиль скорости основного течения [15]

$$U_{\text{prof}}(Z) = -\frac{C e^{-\alpha z/L}}{\alpha(e^\alpha - 1)} \left(L - L e^{\alpha z/L} - Z + Z e^\alpha \right), \quad Z \in [0, L], \quad (2)$$

где $\alpha = \Delta T \beta / T_0$ — безразмерный комплекс,

$$C = \frac{L^2}{\mu_0} \cdot \frac{\Delta p}{L} \quad (3)$$

согласован с перепадом давления Δp , поддерживаемым в дальнейшем в направлении X , а также с линейным распределением температуры

$$T(Z) = \frac{\Delta T}{L} Z + T_0. \quad (4)$$

Значение безразмерного параметра α выбиралось таким, чтобы точка перегиба была удалена от стенок, а высокоскоростное ядро потока не слишком сильно приближалось к пристеночной области (рис. 1). Давление и плотность связаны соотношением для слабосжимаемой жидкости:

$$p = c^2(\rho - \rho_0), \quad (5)$$

где c — скорость звука, ρ — плотность жидкости в некоторой точке, ρ_0 — характерная (реперная) плотность. Скорость звука c выбирается таким образом, чтобы число Маха M во всей расчетной области удовлетворяло соотношению

$$M^2 = \left(\frac{\max[U, V, W]}{c} \right)^2 \leq 0,01. \quad (6)$$

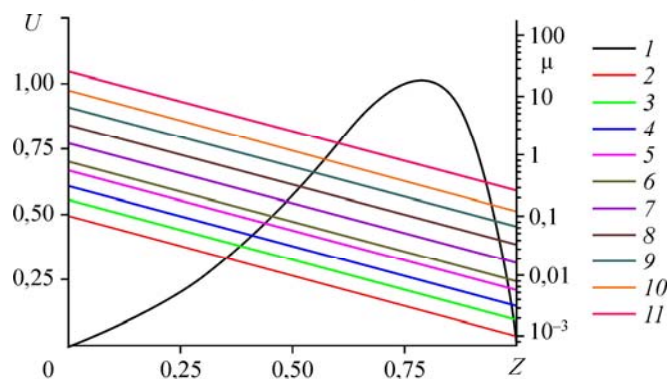


Рис. 1. Распределение профиля скорости ($U = U(Z)$)

и динамической вязкости ($\mu = \mu(Z)$) при различных значениях μ_0 .

1 — $U(Z)$, $\mu_0 = 0,1$ (2), 0,2 (3), 0,4 (4), 0,6 (5), 0,8 (6), 1,6 (7), 3,2 (8), 6,4 (9), 12,8 (10), 26,6 (11), среднemasсовое число $Re_1 = 4704$ (2), 2353 (3), 1177 (4), 788 (5), 588 (6), 294 (7), 197 (8), 92 (9), 36 (10), 18 (11).

В свободных сдвиговых течениях безразмерное время t можно определить по характерной (среднемассовой) скорости U_0 и толщине начальной потери импульса $\delta_{\theta,0}$ как $t = \tilde{t} U_0 / \delta_{\theta,0}$, где \tilde{t} — физическое время [13]. В настоящей работе вместо толщины потери импульса будет использоваться длина канала L (протяженность расчетной области в направлении X). Помимо характерного времени $t_0 = L/U_0$ введем набор чисел Рейнольдса Re :

— $Re_1 = U_0 L \rho_0 / \mu_{\text{mean}}$, где U_0 — среднемассовая скорость основного течения, L — высота канала, ρ_0 — характерная плотность, μ_{mean} — среднемассовая вязкость;

— $Re_2 = U^* L \rho_0 / \mu_{\text{mean}}$, где $U^* = U(Z)$ — локальная скорость основного течения; описание остальных величин см. выше;

— $Re_3 = U^* L \rho_0 / \mu^*$, где $\mu^* = \mu(Z)$ — локальная динамическая вязкость, являющаяся функцией ширины канала; описание остальных величин см. выше;

— $Re_4 = U_0 L \rho_0 / \mu^*$, описание величин см. выше;

— $Re_5 = U^* z^* \rho_0 / \mu_{\text{mean}}$, где z^* — расстояние от стенки, причем это число определяется в области $|z^*| \leq 0,15 \cup |L - z^*| \leq 0,15$; описание остальных величин см. выше.

Множественность определения Re связана с резким изменением как профиля скорости, так и вязкости поперек канала. Очевидно, что среднемассовые показатели могут дать неверное представление о поведении течения в различных слоях, особенно на этапе развития неустойчивости. Действительно, достаточно сильная вариация вязкости поперек канала подразумевает возможность существования различных режимов течения, возникающих в слоях с различной температурой, что, вероятно, связано с величиной работы вязких напряжений, играющих важную роль в развитии сдвиговых неустойчивостей. В частности, на рис. 2 приведены характерные профили локальных чисел Рейнольдса $Re_{2,3,4,5} = Re_{2,3,4,5}(Z)$ для среднемассового $Re_1 \approx 588$, которые позволяют предполагать возникновение серьезных затруднений при анализе свойств течения на основе безразмерных параметров. Это объясняется тем, что, во-первых, априори неизвестно, может ли хотя бы один из перечисленных параметров являться критерием, однозначно определяющим будущую эволюцию течения, во-вторых, невозможно установить, какое из чисел $Re_1 - Re_5$ наилучшим образом подходит для описания картины течения. Также следует отметить, что во многих теоретических работах число Рейнольдса используется для оценки пространственно-временных масштабов течения, качества их сеточного разрешения, а также общей вычислительной сложности проведения расчетов $C(Re)$.

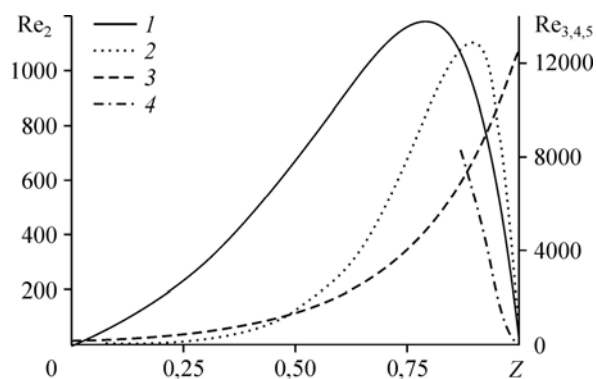


Рис. 2. Распределение безразмерных чисел Рейнольдса Re_2 (1), Re_3 (2), Re_4 (3), Re_5 (4) при среднемассовом $Re_1 = 588$.

В частности, основываясь на соотношении характерных размеров и частот пульсаций в инерционном интервале однородной изотропной турбулентности, можно предложить такую оценку:

$$C(\text{Re}) \sim \text{Re}^{11/4}. \quad (7)$$

Более жестким является условие, предполагающее, что шаг по времени связан с колмогоровским масштабом соотношением Куранта, тогда

$$C(\text{Re}) \sim \text{Re}^3. \quad (8)$$

С одной стороны, значение среднемассового Re_1 позволяет отнести течение к устойчивым ламинарным движениям, с другой — максимальные значения $\text{Re}_2 \approx 1200$ в ядре потока свидетельствуют о возможности развития возмущений в этой области и появлении периодических движений.

Число Re_3 , определяемое по переменным вязкости и скорости, демонстрирует на порядок большие значения, которые, начиная с $Z \geq 0,5$, соответствуют числам перехода к турбулентности ($\text{Re} \approx 2300$ в трубе), а в окрестности своего максимума ($Z \approx 0,9$), смещенного к горячей стенке, и вовсе соответствуют значениям смесительного перехода ($\text{Re} \approx 10000$, см. [22]).

Число Re_4 , определяемое по переменной вязкости, монотонно возрастает по направлению к горячей стенке со значениями, подразумевающими возможность турбулентного перехода в диапазоне $0,5 \lesssim Z \lesssim 0,6$. Использование этого параметра позволяет потенциально разделить течение на два слоя: в одном из них ламинарный характер течения будет сохраняться, а в другом — будет происходить его турбулизация. Впрочем, завышенные значения в области горячего пристенка позволяют усомниться в значимости Re_4 .

«Пристеночное» число Рейнольдса Re_5 необходимо для оценки развития турбулентности в пограничных слоях. В области своего определения оно имеет диапазон значений, сравнимый с $\text{Re}_{3,4}$, что с формальной точки зрения говорит о возможности существования развитого турбулентного течения в пристеночном слое.

1.2. Задание шума с требуемыми корреляционными характеристиками

Корректность результатов моделирования физического явления обеспечивается не только свойствами математического метода, но и правильным заданием начальных и граничных условий. При моделировании турбулентности вычислитель сталкивается с «порочным кругом» [23], когда для адекватного моделирования явления необходимо задать его основные характеристики. Для успешного воспроизводства характеристик турбулентности используется несколько подходов, в частности, включающих в себя постановку периодических граничных условий, задание условий на входе путем масштабирования поля скорости [24] из областей, находящихся ниже по потоку (выделение мгновенных случайных полей скоростей), задание кармановского энергетического спектра в фурье-пространстве, а также проведение вспомогательного моделирования. Последний способ часто используется при исследовании ламинарно-турбулентного перехода, когда в качестве начальных или граничных условий используются характеристики наиболее неустойчивых мод, полученных из решения уравнения Орра–Зоммерфельда [25].

Наиболее простым методом задания турбулентных течений является наложение случайных флуктуаций на средний профиль скорости. В силу того, что энергетический спектр случайной величины, получаемой с помощью стандартных псевдослучайных методов генерации, равномерно распределен во всем диапазоне значений волновых чисел

(в случае спектрального подхода), нехватка энергии в длинноволновой области приводит либо к замедленной турбулизации течения, либо к быстрому затуханию турбулентности и ламинаризации потока [23]. Этот факт был подтвержден собственными расчетами авторов, однако специальному изучению он не подвергался.

В общем случае задание гауссова распределения для автокорреляционной функции может оказаться достаточным для имитации свойств однородной изотропной турбулентности. Кроме того, возможна генерация искусственных входных данных с предварительно заданными (экспериментально определяемыми) статистическими свойствами — средними значениями, автокорреляционными и кросскорреляционными функциями, а также моментами высших порядков.

Общий алгоритм модификации белого шума связан, во-первых, с установлением длины затравочной последовательности процессора, во-вторых, с модификацией ее значений и, в-третьих, с генерацией нового случайного распределения чисел в области значений $[-1, 1]$, которое в дальнейшем подвергается обработке другими фильтрами. Приведем краткое описание цифрового фильтра [23] случайного поля, использовавшегося при задании начальных данных и определявшего двухточечную корреляцию на основе случайной последовательности x'_m , такой, что $\overline{x'_m} = 0$, $\overline{x'_m x'_m} = 1$, где черта обозначает усреднение по членам последовательности. Следующая свертка определяет цифровой линейный нерекурсивный фильтр:

$$x''_m = \sum_{n=-W_f^X}^{W_f^X} b_n x'_{m+n}, \quad (9)$$

где b_n — коэффициенты фильтра, W_f^X — база, равная полуширине фильтра (support of the filter). Так как $\overline{x'_m x'_n} = 0$ при $m \neq n$, то выражение

$$\frac{\overline{x''_m x''_{m+k}}}{\overline{x''_m x''_m}} = \sum_{j=-W_f^X+k}^{W_f^X} b_j b_{j-k} / \sum_{j=-W_f^X}^{W_f^X} b_j^2 \quad (10)$$

представляет собой соотношение между коэффициентами фильтра и автокорреляционной функцией для x''_m . Процедура фильтрации обобщается на случай трехмерного случайного поля и представляет собой свертку трех одномерных фильтров:

$$b_{ijk} = R_S b_X(i) b_Y(j) b_Z(k), \quad (11)$$

где R_S — дополнительный параметр, позволяющий изменять амплитуду при фильтрации. Для обращения (10) необходимо знать автокорреляционную функцию $R_{x''x''}(\vec{x}, \vec{r})$ (где \vec{x} — радиус-вектор положения исходной точки) или (и) воспользоваться понятием длины корреляции. Из предположения об однородности турбулентности следует, что корреляционная функция зависит от расстояния между точками $r = |\vec{r}|$, тогда пространственная корреляционная функция примет вид

$$R_{x''x''}(r, 0, 0) = \exp\left(-\pi r^2 / 4(l_c^X)^2\right), \quad R_{x''x''}(0) = 1, \quad \lim_{r \rightarrow \infty} R_{x''x''}(r) = 0. \quad (12)$$

Имея сеточное множество с пространственным шагом Δx и $l_c^X = n_c^X \Delta x$, получим

$$\frac{\overline{x''_m x''_{m+k}}}{\overline{x''_m x''_m}} = R_{x''x''}(k\Delta x) = \exp\left(-\frac{\pi(k\Delta x)^2}{4(n_c^X \Delta x)^2}\right) = \exp\left(-\frac{\pi k^2}{4(n_c^X)^2}\right), \quad (13)$$

а коэффициенты фильтрации примут вид:

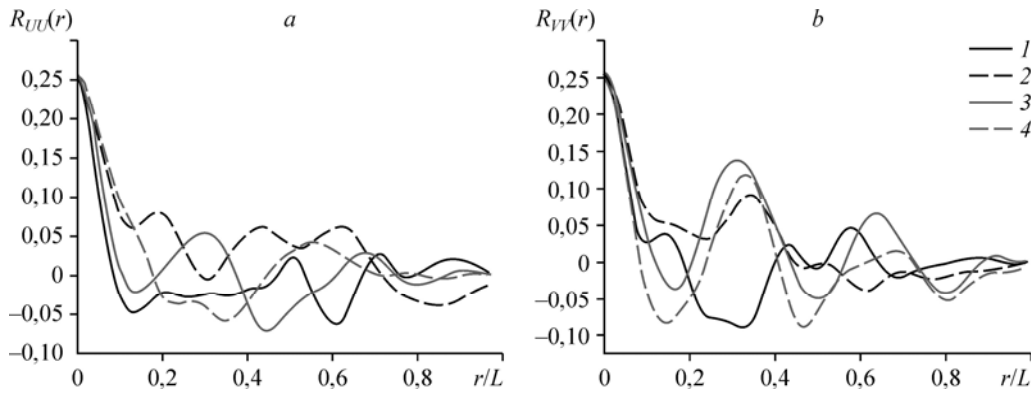


Рис. 3. Автокорреляционные функции $R_{UU} = R_{UU}(r/L)$ (a) и $R_{VV} = R_{VV}(r/L)$ (b) в направлениях X и Y соответственно для чисел Рейнольдса $Re_1 = 588$ (1, 2), 788 (3, 4), рассчитанные на сетках 64^3 и 128^3 . Размер сетки 64^3 (1, 3), 128^3 (2, 4).

$$b_k \approx \frac{\tilde{b}_k}{\sum_{j=-W_f^X}^{W_f^X} \tilde{b}_j^2}, \quad \tilde{b}_k = \exp\left(-\frac{\pi k^2}{2(n_c^X)^2}\right). \quad (14)$$

Точность аппроксимации (13) определяется из соотношения

$$\max_k \left| \exp\left(-\frac{\pi k^2}{4(n_c^X)^2}\right) - \frac{\sum_{j=-W_c^X}^{W_c^X} b_j b_{j-k}}{\sum_{j=-W_c^X}^{W_c^X} b_j^2} \right| \leq 0,001 \quad (15)$$

при $W_f^X \geq 2n_c^X$, $n_c^X = 2 \div 100$. Из неравенства (15) следует, что база фильтра (filter support) должна быть больше удвоенной корреляционной длины. Для фильтрации необходимо задать корреляционные длины по соответствующим пространственным направлениям $l_c^X = n_c^X \Delta x$, $l_c^Y = n_c^Y \Delta y$, $l_c^Z = n_c^Z \Delta z$ и полуширины цифрового фильтра W_f^X , W_f^Y , W_f^Z .

Фильтрованное поле скорости находится с помощью свертки

$$v'(i, j, k) = \sum_{i'=n_X}^{n_X} \sum_{j'=n_Y}^{n_Y} \sum_{k'=n_Z}^{n_Z} b_X(i') b_Y(j') b_Z(k') A(i+i', j+j', k+k'), \quad (16)$$

где A — исходный массив случайных данных.

Результирующее поле турбулентных пульсаций может иметь ненулевую дивергенцию, по крайней мере, это не гарантируется разработчиками метода [23]. На рис. 3a, 3b в качестве примера приведены графики автокорреляционных функций пульсационных составляющих скорости $R_{UU}(r/L)$ и $R_{VV}(r/L)$ в направлениях X и Y в зависимости от безразмерного расстояния между точками корреляции r/L . Так как при свертке случайного поля скорости с коэффициентами фильтра предположение о периодичности расчетной области не использовалось, то количество точек, участвующих в выборке, уменьшалось с увеличением r . Таким образом, при $r/L > 0,5$ этого числа точек явно недостаточно для получения достоверных значений. Тем не менее, в обоих направлениях прослеживается резкий спад корреляционной зависимости вплоть до небольших отрицательных значений на участке 0,1–0,2, что в принципе соответствует характерной длине корреляции, устанавливаемой фильтром ($L/8$, см. табл. 1, 2).

Таблица 1

Список основных расчетных параметров

Название параметра	Обозначение	Значение
Реперная температура	T_0	127
Температура на нижней стенке	T_1	127
Температура на верхней стенке	T_2	273
Показатель экспоненты	β	-4
Размер расчетной области	L	0,2
Реперная плотность	ρ_0	1000
Теплопроводность	λ	0,3
Теплоемкость	C_p	2000
Число Куранта	CFL	0,15

1.3. Фильтр соленоидального поля

В рассматриваемой задаче сжимаемость может оказать существенное влияние на основное течение, так как при турбулизации могут появляться области достаточно сильной завихренности, создающие градиенты давления, сопоставимые с градиентом основного течения. Таким образом, необходимо минимизировать влияние возможной начальной недивергентности поля пульсаций с учетом пространственной периодичности по направлениям X и Y . Особенно просто задание соленоидального поля выглядит при использовании спектральных методов. В этом случае оказывается достаточным равенство нулю скалярного произведения волнового вектора \vec{k} и фурье-компонент скорости \vec{u}'_k [26]:

$$(\vec{k}, \vec{u}'_k) = 0. \quad (17)$$

Добиться требуемого результата можно также путем задания случайных функций f и g , а затем, используя правила векторной алгебры, задать трехмерное поле $\nabla f \times \nabla g$ [27], обладающее свойством соленоидальности; или же путем применения итерационных методов получения соленоидальной составляющей поля скорости [28].

Для целей настоящей работы авторами был реализован алгоритм схемы коррекции дивергенции [29] (соленоидальности — divergence correction scheme) в изложении [30], который реконструирует соленоидальное поле путем минимизации расстояния до исходных данных методом наименьших квадратов при условии сохранения массы, что дает следующую систему уравнений:

$$\begin{cases} \min \sum_{i,j,k=1}^{n_X, n_Y, n_Z} (u_{\text{init}}^{ijk} - u_{\text{corr}}^{ijk})^2 + (v_{\text{init}}^{ijk} - v_{\text{corr}}^{ijk})^2 + (w_{\text{init}}^{ijk} - w_{\text{corr}}^{ijk})^2, \\ \sum_{i'=1}^{n_X} d_{n_X}^{ii'} u_{\text{corr}}^{i'jk} + \sum_{j'=1}^{n_Y} d_{n_Y}^{jj'} u_{\text{corr}}^{ij'k} + \sum_{k'=1}^{n_Z} d_{n_Z}^{kk'} u_{\text{corr}}^{ijk'} = 0, \end{cases} \quad (18)$$

где u_{init}^{ijk} , v_{init}^{ijk} , w_{init}^{ijk} и u_{corr}^{ijk} , v_{corr}^{ijk} , w_{corr}^{ijk} — соответственно начальные и скорректированные компоненты скорости, $d_{n_X}^{ii'}$, $d_{n_Y}^{jj'}$, $d_{n_Z}^{kk'}$ — одномерные сеточные (дискретные) дифференциальные операторы в направлениях X , Y , Z , определяемые разностной схемой. Для центральных разностных аппроксимаций с учетом граничных условий прилипания одномерный сеточный дифференциальный оператор имеет вид

Таблица 2
Дополнительные расчетные параметры

Номер расчета	Релерная вязкость, μ_0	Перепад давления, Δp	Среднемассовое число Рейнольдса, Re_2	Расчетная сетка, $n_x \times n_y \times n_z$	Характерные длины корреляции, (n_c^x, n_c^y, n_c^z)	Полуширина фильтра, (W_f^x, W_f^y, W_f^z)	Амплитудный параметр, Re_3	Интенсивность турбулентности, $I_x \times 10^{-2}$	Интенсивность турбулентности, $I_r \times 10^{-2}$
1	26,6	81,92	18					2,1	2,1
2	12,8	40,96	36	64 ²	(4, 4, 4)	(12, 12, 12)	1,0	2,1	2,8
3	6,4	20,48	92					1,7	1,9
4	3,2	10,24	197					1,8	3,4
5	1,6	5,12	294				1,25	2,4	1,7
6a	0,8	2,56	588	64 ²				1,8	2,4
6б				128 ²	(8, 8, 8)	(24, 24, 24)	5,0	3,6	4,4
7a	0,6	1,92	788	64 ²	(4, 4, 4)	(12, 12, 12)	1,0	2,5	3,1
7б				128 ²	(8, 8, 8)	(24, 24, 24)	4,0	2,7	2,4
8a				64 ²	(4, 4, 4)	(12, 12, 12)	1,25	3,0	2,7
8б	0,4	1,28	1177	128 ²	(8, 8, 8)	(24, 24, 24)	5	2,4	3,5
8в				128 ²			8	1,5	1,1
10a	0,2	0,64	2353	64 ²	(4, 4, 4)	(12, 12, 12)	0,5	2,9	2,7
10б				128 ²	(8, 8, 8)	(24, 24, 24)	5	4,6	5,3
11a				64 ²	(4, 4, 4)	(12, 12, 12)	1,25	2,7	2,5
11б	0,1	0,32	4707	64 ²				5,3	4,6
11в				64 ²				2,1	2,2
11г				128 ²	(12, 12, 12)	(24, 24, 24)	5	4,1	4,1

$$\begin{pmatrix} -1 & 1 & 0 & \dots & 0 \\ -1/2 & 0 & 1/2 & \dots & \dots \\ \dots & -1/2 & 0 & 1/2 & \dots \\ \dots & \dots & -1/2 & 0 & 1/2 \\ \dots & \dots & \dots & -1 & 1 \end{pmatrix}, \quad (19)$$

в то время как для периодических граничных условий первая и последняя строки матрицы модифицируются, так как в этом случае используются значения для противоположной границы:

$$\begin{pmatrix} 0 & 1/2 & 0 & \dots & -1/2 \\ -1/2 & 0 & 1/2 & \dots & \dots \\ \dots & -1/2 & 0 & 1/2 & \dots \\ \dots & \dots & -1/2 & 0 & 1/2 \\ 1/2 & \dots & \dots & -1/2 & 0 \end{pmatrix}. \quad (20)$$

В случае непериодических граничных условий матрица является трехдиагональной. Существует также реализация этого метода с весовыми коэффициентами [30].

Алгоритм оптимизации включает в себя несколько этапов.

1. Решение задачи на собственные значения для матриц $d_{n_x} d_{n_x}^T$, $d_{n_y} d_{n_y}^T$, $d_{n_z} d_{n_z}^T$.

Разложение на собственные значения формулируется как

$$\begin{aligned} d_{n_x} d_{n_x}^T &= \Phi_{n_x} \Lambda_{n_x} \Phi_{n_x}^T, \\ d_{n_y} d_{n_y}^T &= \Phi_{n_y} \Lambda_{n_y} \Phi_{n_y}^T, \\ d_{n_z} d_{n_z}^T &= \Phi_{n_z} \Lambda_{n_z} \Phi_{n_z}^T, \end{aligned} \quad (21)$$

где Φ_{n_x} , Φ_{n_y} , Φ_{n_z} — матрицы левых собственных векторов.

2. Расчет дивергентной невязки

$$S_{init}^{ijk} = \sum_{i'=1}^{n_x} d_{n_x}^{ii'} u^{i'jk} + \sum_{j'=1}^{n_y} d_{n_y}^{jj'} u^{ij'k} + \sum_{k'=1}^{n_z} d_{n_z}^{kk'} u^{ijk'}, \quad (22)$$

$$\Gamma^{ijk} = \Lambda_{n_x}^i + \Lambda_{n_y}^j + \Lambda_{n_z}^k. \quad (23)$$

3. Расчет множителей Лагранжа

$$\mu^{ijk} = \sum_{l,m,n=1}^{n_x, n_y, n_z} \Phi_{n_x}^{il} \Phi_{n_y}^{jm} \Phi_{n_z}^{kn} / \Gamma_{lmn} \sum_{i',j',k'=1}^{n_x, n_y, n_z} \Phi_{n_x}^{i'l} \Phi_{n_y}^{j'm} \Phi_{n_z}^{k'n} S_{init}^{i'j'k'}. \quad (24)$$

4. Обновление значений скорости

$$\begin{aligned} u_{corr}^{ijk} &= u_{init}^{ijk} - \sum_{i'=1}^{n_x} d_{n_x}^{i'i} \mu^{i'jk}, \\ v_{corr}^{ijk} &= v_{init}^{ijk} - \sum_{j'=1}^{n_y} d_{n_y}^{j'j} \mu^{ij'k}, \\ w &= w_{init}^{ijk} - \sum_{i'=1}^{n_x} d_{n_x}^{i'i} \mu^{i'jk}. \end{aligned} \quad (25)$$

В настоящей работе в качестве начальных условий задается двумерный вырожденный шум, связанный с заданием пульсаций скорости в двух направлениях периодичности и удовлетворяющий более жесткому условию, чем обычная соленоидальность:

$$\frac{\partial u'(0)}{\partial x} + \frac{\partial v'(0)}{\partial y} = 0, \quad (26)$$

то есть при требовании выполнения равенств

$$\frac{\partial u'(0)}{\partial x} = 0, \quad \frac{\partial v'(0)}{\partial y} = 0, \quad (27)$$

заранее предполагается, что $u'(0, y) = u'(y)$ и $v'(0, x) = v'(x)$. Указанное упрощение, в частности, позволяет избежать применения описанного выше фильтра коррекции дивергенции в трехмерной реализации, к числу недостатков которого относится использование девяти вложенных циклов при расчете множителей Лагранжа. Однако для двумерного неди-вергентного шума описанный фильтр демонстрирует высокую эффективность и высокую скорость работы. Очевидно, что характеристики задаваемого шума (в частности двумерность) далеко не полностью передают особенности трехмерного поля хаотических пульсаций, наблюдаемых в реальном физическом процессе. Таким образом, данный шум может применяться в предположении, что трехмерная турбулентность имеет сравнительно короткую историю, однако он позволяет проследить процесс перекачки энергии в движения, приводящие к росту третьей компоненты скорости между пластинами.

2. Постановка граничных условий для численного метода КАБАРЕ

Схема КАБАРЕ в своей исходной постановке сочетает уравнения, записанные в двух формах — консервативной и характеристической, что приводит к использованию расширенного набора сеточных множеств — так называемых консервативных и потоковых переменных. Последние могут включать в себя еще несколько множеств — по числу направлений переноса локальных инвариантов Римана. Данные множества по-разному располагаются в объеме расчетной области: множество точек консервативных переменных находятся в центрах граней расчетных ячеек и в дальнейшем нумеруются целыми числами, тогда как точки потоковых множеств располагаются в серединах граней и индексируются дробными числами. Наиболее полное обобщение вариаций метода КАБАРЕ содержится в монографии [31], текущая реализация в двумерном приближении описана в работе [21].

В рассматриваемой постановке предлагается в качестве начальных условий задать на стационарном профиле скорости мелкомасштабные турбулентные пульсации и проследить их временную эволюцию в периодическом канале. Также предположим, что расчетная сетка имеет (n_x, n_y, n_z) расчетных ячеек в соответствующих пространственных направлениях. В этом случае для поддержания постоянного значения перепада давления Δp и переноса значений скорости локальные инварианты Римана, по которым определяются граничные условия, терпят разрыв на границе.

Основываясь на инвариантах Римана для слабосжимаемой жидкости, отвечающих за перенос возмущений, можно записать:

— в направлении X

$$\begin{aligned} I_1^X &= c \ln(p + c^2 \rho_0) + u, & \lambda_1^X &= u + c, \\ I_2^X &= -c \ln(p + c^2 \rho_0) + u, & \lambda_2^X &= u - c, \\ I_3^X &= v, & I_4^X &= w, & I_5^X &= T, & \lambda_{3,4,5}^X &= u, \end{aligned} \quad (28)$$

— в направлении Y

$$\begin{aligned} I_1^Y &= c \ln(p + c^2 \rho_0) + v, & \lambda_1^Y &= v + c, \\ I_2^Y &= -c \ln(p + c^2 \rho_0) + v, & \lambda_2^Y &= v - c, \\ I_3^Y &= u, & I_4^Y &= w, & I_5^Y &= T, & \lambda_{3,4,5}^Y &= v, \end{aligned} \quad (29)$$

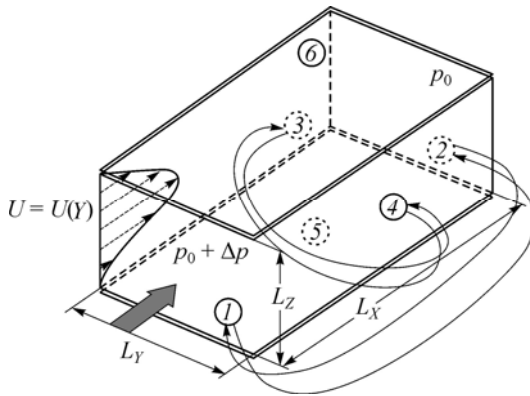


Рис. 4. Схема расчетной области.

Границы отмечены номерами 1–6; периодические граничные условия, связанные друг с другом показаны двойными стрелками, темная широкая стрелка отмечает направление основного течения $U = U(Z)$ (границы 1, 2), штриховые стрелки показывают начальную проекцию плоского профиля на границу 3.

— в направлении Z

$$\begin{aligned}
 I_1^Z &= c \ln(p + c^2 \rho_0) + w, \quad \lambda_1^Z = w + c, \\
 I_2^Z &= -c \ln(p + c^2 \rho_0) + w, \quad \lambda_2^Z = w - c, \quad (30) \\
 I_3^Z &= u, \quad I_4^Z = v, \quad I_5^Z = T, \quad \lambda_{3,4,5}^Z = w.
 \end{aligned}$$

Построим граничные условия для расчетной области, изображенной на рис. 4.

2.1. Периодическое граничное условие с сохранением перепада давления

Для вычисления значений потоковых переменных в граничных ячейках необходимо ввести два дополнительных слоя, куда будут пересылаться значения потоковых переменных (ρ , u , v , w) с противоположной границы, причем, значения плотности должны быть скорректированы с учетом перепада давления Δp между границами.

Таким образом, в слой у входной левой границы записываются переменные ($\rho(i, j, n_X) + \Delta p / c^2$, $u(i, j, n_X)$, $v(i, j, n_X)$, $w(i, j, n_X)$), $T(i, j, n_X)$), по которым вычисляются I_1^X , распространяющийся вниз по потоку. Инвариант I_1^X вместе с I_2^X , значения которого переносятся характеристиками из глубины расчетной области, позволяет определить потоковые переменные на входной границе. Аналогично для выходной границы создается дополнительный слой ($\rho(i, j, 1) - \Delta p / c^2$, $u(i, j, 1)$, $v(i, j, 1)$, $w(i, j, 1)$), $T(i, j, 1)$), который используется для вычисления инварианта I_2^X , в то время как I_1^X содержит информацию из внутренних точек расчетной области. В результате в канале должно образовываться пространственно-периодическое течение с фиктивным разрывом плотности на концах. Описанный прием позволяет избежать решения задач по установлению требуемого профиля скорости и линейного распределения температур, а также распространения турбулентных пульсаций, переносимых основным потоком от входной границы, что должно существенно сократить процесс счета.

С физической точки зрения использование рассмотренных граничных условий означает задание пространственного поля турбулентных пульсаций в объеме жидкости, который множество раз протекает по одному и тому же каналу прямоугольного сечения.

Определенную сложность представляет нелинейная зависимость инвариантов слабосжимаемой жидкости от p , которая может привести к ошибкам в работе алгоритма. К недостаткам подобной постановки следует отнести и вопрос влияния возмущений, распространяющихся вверх по потоку (влияние «будущего» на «прошлое»). Постановка таких граничных условий встречается в некоторых работах, однако не для инвариантов Римана.

2.2. Периодические граничные условия на передней 3 и задней 4 гранях, изображенных на рис. 4

Данные граничные условия также требуют двух дополнительных слоев ячеек без разрыва плотности на передней ($\rho(i, n_Y, j)$, $u(i, n_Y, j)$, $v(i, n_Y, j)$, $w(i, n_Y, j)$, $T(i, n_Y, j)$) и задней ($\rho(i, 1, j)$, $u(i, 1, j)$, $v(i, 1, j)$, $w(i, 1, j)$, $T(i, 1, j)$) гранях, по которым вычисляются инварианты I_1^Y и I_2^Y .

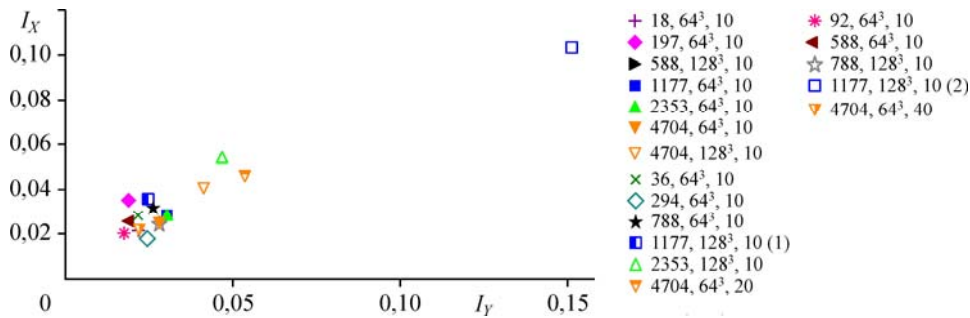


Рис. 5. Диаграмма интенсивностей начальных возмущений по направлениям X и Y .

Числа, приведенные рядом с указателями, соответствуют (слева направо) числу Рейнольдса Re_1 , размеру расчетной сетки, скорости звука; цифры (1) и (2) указывают соответственно на расчеты (10) и (11), выполненные при $Re_1 = 1177$ и отличающиеся начальной интенсивностью возмущения.

2.3. Условие прилипания для значений потоковых переменных на стенках 5 и 6, изображенных на рис. 4

Условия прилипания на стенках 5 и 6 (рис. 4) записывается достаточно просто: $(u(i, j, 1/2), v(i, j, 1/2), w(i, j, 1/2)) = (0, 0, 0)$. Расчет давления проводится по значению инварианта I_2^Z , переносящего информацию из глубины области. На верхней стенке оно записывается в виде $(u(i, j, n_Z + 1/2), v(i, j, n_Z + 1/2), w(i, j, n_Z + 1/2)) = (0, 0, 0)$, а давление определяется по значению инварианта I_1^Z , содержащего информацию внутренних ячеек. Граничные условия для скоростей дополняются условиями постоянства температуры на нижней $(T(i, j, n_Z + 1/2) = T_0)$ и верхней $(T(i, j, n_Z + 1/2) = T_0 + \Delta T)$ стенках.

В расчетах использовались прямоугольные сетки с числом ячеек, одинаковым по трем пространственным направлениям, — 64^3 и 128^3 . Так как схема КАБАРЕ относится к классу явных численных методов, то по условию устойчивости шаг по времени определяется минимальным размером шага по пространству, относящимся к размеру канала L . Это обстоятельство существенно увеличивает трудоемкость расчетов при измельчении сетки поперек канала, особенно при длительных временах установления течения. Таким образом, используемые сетки позволяют в основном разрешать крупномасштабные движения. Список параметров, остающихся постоянными для всех расчетов, приведен в табл. 1. Начальные данные, изменяющиеся от расчета к расчету, вынесены в табл. 2. Диаграмма начальной интенсивности турбулентности, дополняющая представление о свойствах начальных данных, приведена на рис. 5.

3. Замечания о программной реализации

Алгоритм численного метода КАБАРЕ в приближении слабой сжимаемости был реализован на языке высокого уровня Fortran F90 с применением гибридного распараллеливания на основе технологий OpenMP и MPI. Расчеты проводились на ЭВМ ОИВТ РАН и МВС-10п МСЦ РАН. Детали текущей реализации в части моделирования изотермических течений обсуждались в работе [21].

4. Типы усреднения и результаты

Турбулентность часто возникает в неоднородных жидкостях или многокомпонентных смесях с различной вязкостью. При рассмотрении свободных сдвиговых течений обычно проводится пространственное усреднение по направлениям периодичности. Для случая градиентного течения проводить усреднение в направлении градиента давления не представляется возможным, так как турбулентность может эволюционировать по длине канала. Однако для расчетной области, рассматриваемой в настоящей работе, характерный размер, на котором действует перепад давления, в точности равен размерам по другим направлениям, а пролетное время жидкой частицы достаточно мало. Таким образом, в дальнейшем будем рассматривать усреднение в направлениях периодичности X и Y , используя обозначение $\langle \rangle_S$. Пространственное усреднение позволяет установить средние профили скорости и температуры в расчетной области, реализующиеся на текущем шаге по времени, и представить совокупность полученных результатов в виде цветовой $Z-t$ -диаграммы. К рассматриваемым величинам также относятся интегралы кинетической энергии

$$E(t) = \frac{1}{\rho_0 U_0^2 \Omega} \iiint_{\Omega} \frac{\rho_0 (U^2 + V^2 + W^2)}{2} d\Omega, \quad (31)$$

и энтрофии

$$\zeta(t) = \frac{t_0^2}{\rho_0 \Omega} \int_{\Omega} \frac{\rho \bar{\omega}^2}{2} d\Omega, \quad (32)$$

где Ω — объем расчетной области.

Зависимость интегральной кинетической энергии от времени (рис. 6) обладает следующими свойствами. При последовательном увеличении числа Рейнольдса в диапазоне $Re = 18 \div 4704$ наблюдается смена поведения кривых, так как при малых Re происходит увеличение кинетической энергии, а при больших — резкий ее спад в связи с турбулизацией потока. Очевидно, что чем меньше число Рейнольдса, тем существеннее роль вязких напряжений, и это приводит к более быстрой перестройке потока и связанному с ней изменению кинетической энергии; кроме того, имеет место быстрое достижение сеточной сходимости (например, в случае $Re = 588$ для сеток 64^3 и 128^3). В переходном режиме наблюдается смешанная ситуация — в диапазоне $Re > 588 \cap Re < 2000$ на грубых сетках происходит резкая турбулизация, в то время как измельчение сетки возвращает режим течения, соответствующий малым числам Рейнольдса. Начиная с $Re \approx 2300$, при измельчении сетки режим течения остается неизменным. При дальнейшем повышении числа Рейнольдса происходит переход к «предельному» режиму, когда форма кривой фактически от Re не зависит. Следует отметить, что для любого Re должен существовать такой момент времени t_a , при котором кинетическая энергия принимает практически асимптотическое значение. Время выхода на асимптоту должно, вероятно, свидетельствовать об установлении нового равновесия между течением и соответствующими граничными условиями.

На самой грубой сетке расчет при $Re = 4704$ проводился для различных скоростей звука c и не показал сколько-нибудь существенных различий.

Поведение кривых интегральной энтрофии (рис. 7) подтверждает существование двух режимов эволюции течения, в одном из которых оно сохраняет ламинарный характер, а в другом — происходит генерация завихренности, сопровождаемая диссипацией

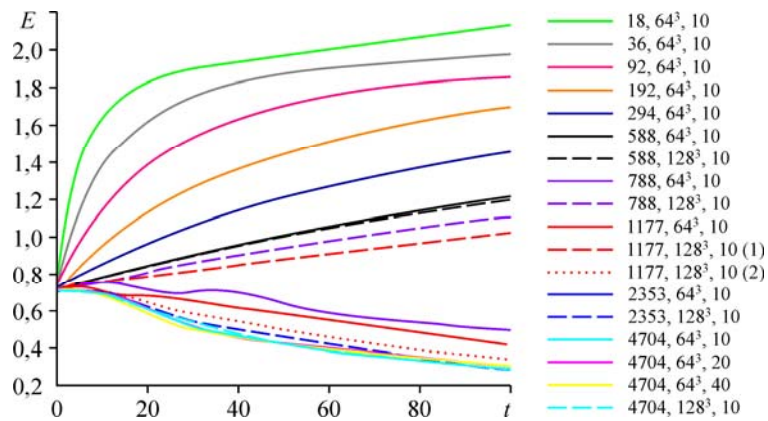


Рис. 6. Зависимость безразмерной кинетической энергии от времени, рассчитанная для различных чисел Рейнольдса на сетках 64^3 и 128^3 .

Порядок соответствия значений у указателей см. на рис. 5.

энергии. В последнем случае активная турбулизация наступает за $\Delta t \approx 8-15$ в зависимости от числа Рейнольдса, причем при увеличении Re в диапазоне $Re = 588-1176$ скорость генерации завихренности возрастает в 2 раза. На грубой сетке распад турбулентности, связанный с диссипацией завихренности, происходит на участке $t = 20 \div 150$, независимо от числа Рейнольдса или скорости звука c . Быстрее всего, за $t \approx 6$, генерация завихренности происходит для максимального из рассмотренных чисел Рейнольдса — $Re = 4704$, на сетке 128^3 .

Перейдем к описанию поведения течения ($Re_1 = 588, 64^3$) на основе совокупности профилей (рис. 8), осредненных в направлении периодичности и представленных в виде $Z-t$ -диаграмм, что позволяет установить причину появления двух типов зависимостей $E = E(t)$. Так, для самого малого числа Рейнольдса оказывается, что поле температуры $\langle T \rangle_S$ остается неизменным на всех усредненных по времени слоях, чего нельзя сказать о поведении основного течения $\langle U \rangle_S$, в котором под воздействием малых колебаний конечной амплитуды происходит перестройка течения. Здесь следует обратить внимание на то, что имеет место увеличение скорости в ядре потока и его расширение

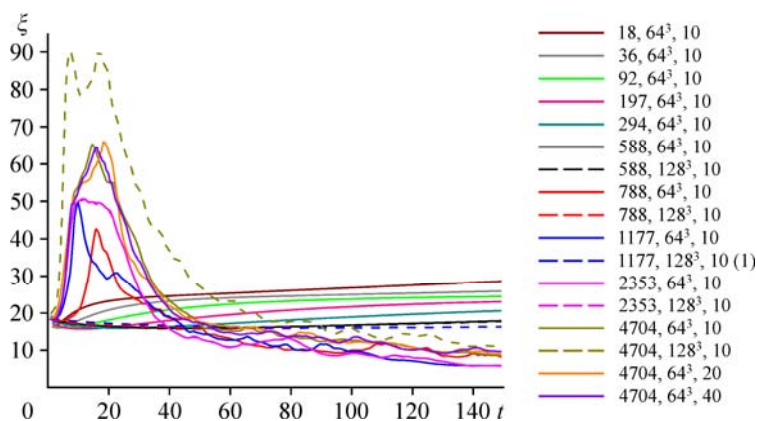


Рис. 7. Зависимость интегральной энстрофии от времени, рассчитанная для различных чисел Рейнольдса на сетках 64^3 и 128^3 .

Порядок соответствия значений у указателей см. на рис. 5.

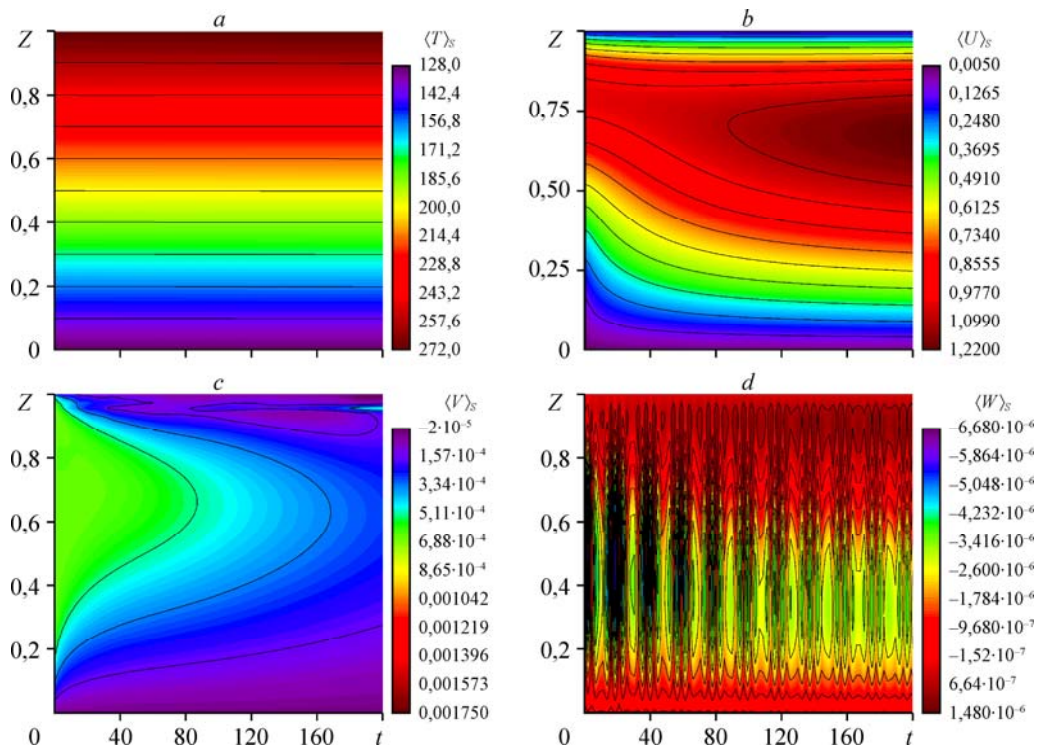


Рис. 8. Z - t -диаграммы профилей температуры $\langle T \rangle_s$ (a) и компонент скорости $\langle U \rangle_s$ (b), $\langle V \rangle_s$ (c), $\langle W \rangle_s$ (d), построенные по результатам расчетов для $Re_1 = 588$ на сетке 64^3 .

в центральную часть канала. Таким образом, полностью изменяются расходные характеристики течения. Действительно, в используемой постановке профиль скорости, задаваемый в качестве начальных условий, будучи согласованным с граничными условиями по напорным и тепловым характеристикам (течение с заданным перепадом давления, прилипанием на стенках с различной температурой T в отсутствие возмущений скорости), должен сохраняться неограниченно долго. Именно это и было первоначально подтверждено численными экспериментами для течения Пуазейля и профиля термовязкой жидкости с точкой перегиба. В последнем случае ситуация изменяется при наложении возмущений, что приводит к перестройке потока с формированием профиля без точки перегиба, после чего резко изменяются расходные характеристики. Важно отметить, что существование точки перегиба в профиле скорости для одного флюида определяется исключительно перепадом температур ΔT . Перестройка течения происходит под воздействием возмущений компонент скорости (эти возмущения исчезают вследствие усреднения), этот процесс протекает без роста максимальной скорости в ядре потока или вытеснения ядра от стенок. «Выпрямление» профиля продолжается достаточно долго — $t \approx 30$. Следует предположить нарушение консервативности работы алгоритма (но не схемы), связанное с наложением специфических граничных условий, однако оно не дает объяснения исчезновению точки перегиба, а также неизменности расходных характеристик в горячей пристенке. Также предположение об уменьшении фактического ΔT в силу частичного перемешивания в пристеночной области не подтверждается графиками среднего профиля температуры. В приведенном виде расход в основном течении через расчетную область $Q(t)/Q(0)$ хорошо описывается функцией $Q(t)/Q(0) \sim \log(t)$.

На дальних временах эволюции расходная кривая лежит между двумя асимптотами (функциями) вида $Q(t)/Q(0) \sim b \log(t-a)$ и $Q(t)/Q(0) = 1 + A \exp(-t/t_1)$.

Компонента скорости свободного течения в направлении периодичности $\langle V \rangle_S$ по мере эволюции затухает во всех слоях: в ядре течения ($z \approx (0,5-0,75)L$) на участке $\Delta t \approx 1,5$ ее величина падает в 3 раза, далее происходит практически линейный спад с изменением приблизительно на 0,2 от начальной величины. Аналогично в поперечном сечении эта величина сохраняется в зоне ядра 0,4–0,8, в то время как в пристеночной зоне происходит ее затухание практически до нуля. Таким образом, развитие трехмерного течения не происходит. Следует заметить, что измельчение сетки для рассматриваемого режима приводит к более раннему изменению расходных характеристик, связанному с ускорением в ядре потока, а именно: на сетке 64^3 — при $t \approx 65$, на сетке 128^3 — при $t \approx 39$.

При средних числах Рейнольдса ($Re = 788, 1176$) оказывается, что на грубой сетке имеет место турбулентный сценарий развития, а на мелкой происходит обычная перестройка потока под действием начальных возмущений (рис. 9). В случае турбулентного сценария процесс смешения можно проследить по изолиниям температуры $\langle T \rangle_S$. Помимо прочего, можно судить о поведении конкретных слоев жидкости в силу линейной привязки положения изолинии и ординаты слоя. Сам процесс смешения будем описывать по смещению положения изолинии, которое начинается в верхнем слое $(0,9-1,0)L$ при $t \approx 9$ и приводит за $\Delta t \approx 20$ к практически полному смешению.

В остальных слоях крупномасштабное смешение начинается в интервале $t \approx 11-22$. В конечном итоге процесс смешения приводит к расширению среднего слоя — $z \in [0,5, 0,6]$,

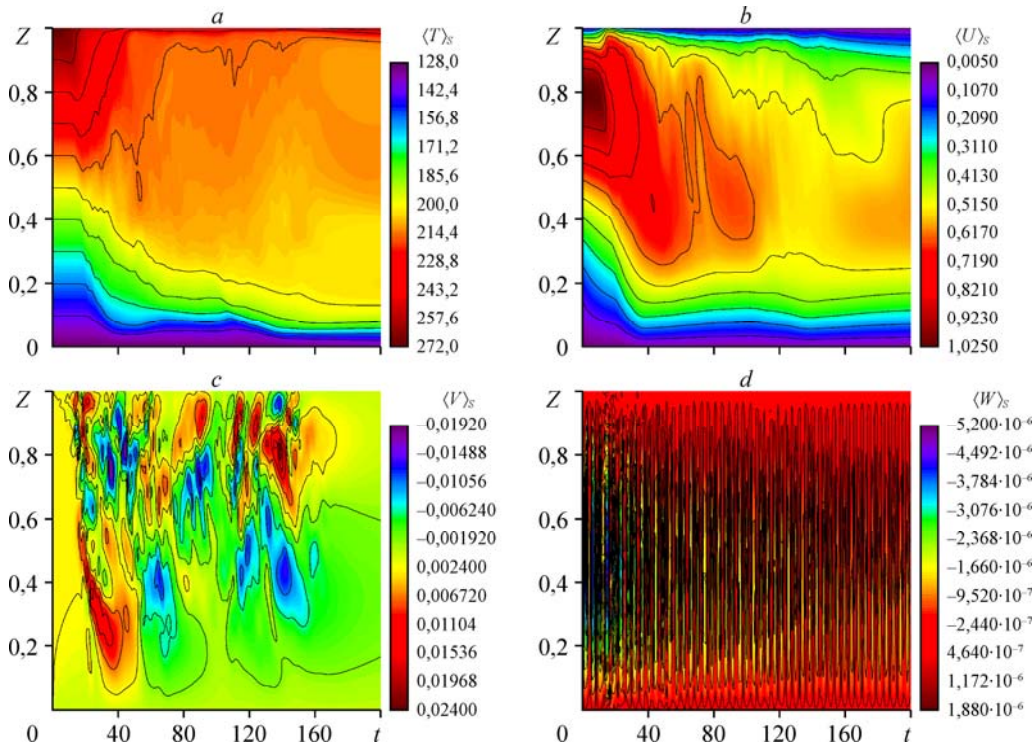


Рис. 9. Z-t-диаграммы профилей температуры $\langle T \rangle_S$ (a) и компонент скорости $\langle U \rangle_S$ (b), $\langle V \rangle_S$ (c), $\langle W \rangle_S$ (d) в случае турбулентного режима при низком числе Рейнольдса $Re_1 = 788$ на сетке 64^3 .

причем в верхней полуплоскости происходит его резкий, но неравномерный рост на интервале $\Delta t \in 20-60$, тогда как нижняя граница плавно расширяется к холодной стенке. Это расширение имеет экспоненциальный характер и занимает гораздо больший промежуток времени: $\Delta t \approx 22-180$, и, в итоге, достигает положения $0,13L$ по ординате. В асимптотическом состоянии на верхней границе этот слой достигает ординаты $0,95$. Таким образом, можно считать, что в конце расчета слой перемешанной жидкости с перепадом температур $\Delta T/10$ занимает $0,83$ всего сечения. В результате на достаточно больших временах эволюции слои $(0,6-1)L$ (в верхней полуплоскости) превращаются в горячий пристенок толщиной около $0,05L$. Слой $0,4-0,5$ в нижней полуплоскости практически не изменяет своей толщины, но, подпитываясь от холодных слоев у нижней стенки, смещается вниз, в область ординаты $0,085-0,165$. Толщины более холодных слоев падают приблизительно в 4 раза (с $0,4$ до $0,085$), в конце расчета они занимают холодный пристенок толщиной $0,085$, что почти в 2 раза больше по сравнению с горячим.

Разрушение профиля основного течения происходит при $t \approx 14$. При этом ядро потока сильно расширяется: с $0,6-0,9$ до $0,44-0,9$, соответственно падает и максимальная скорость в потоке. Картина осредненного профиля скорости представляется очень неоднородной, в том числе до момента времени $t \approx 110$. Ее нельзя назвать стационарной и на более поздних этапах эволюции — в дальнейшем происходит окончательное «размывание» центральной части потока. При $t > 120$ наиболее активное замедление происходит в окрестности верхней (горячей) стенки, что, вероятно, связано с активным перемешиванием. Смещение изолиний скорости в нижней полуплоскости к холодной стенке указывает на уменьшение слоев с соответствующей температурой в 2 раза, при этом в верхней пристеночной области толщина слоя со значением скорости $U \sim (0,3-0,4)U_{\max}$ ($U_{\max} = 1$) растет крайне неравномерным образом (возмущение из-за больших вихрей может достичь и ядра потока, сдвигая его к нижней стенке).

График изначально нулевого поля скорости $\langle W \rangle_S$ после усреднения позволяет судить о наличии вихрей с вертикальной компонентой скорости, что приводит к отсутствию стационарного поля. Вместе с тем, в этом случае усреднение не дает надежных результатов в силу достаточно большого шага между моментами усреднения. График компоненты скорости $\langle V \rangle_S$ в направлении периодичности говорит о существовании режима с выделенным направлением скорости, в котором реализуется двухмерное течение в смысле средних значений, хотя фактически оно является трехмерным, что показывает генерация трехмерной завихренности.

При повышении числа Рейнольдса ($Re = 4704$, сетка 128^3 , см. рис. 10) имеет место интенсивное и раннее смешение, которое также можно проследить по полю $Z-t$ -диаграммы. Начало процесса смешения составляет: в слое $0,0-0,1$ — $t \approx 10,68$, в слое $0,1-0,2$ — $\approx 9,49$, в слое $0,2-0,3$ — $t \approx 7,12$, в слое $0,3-0,4$ — $t \approx 7,12$, в слое $0,4-0,5$ — $t \approx 4,74$, в слое $0,5-0,6$ — $t \approx 4,74$, в слое $0,6-0,7$ — $t \approx 4,74$, в слое $0,7-0,8$ — $t \approx 4,74$, в слое $0,8-0,9$ — $t \approx 2,27$, в слое $0,9-1$ — $t \approx 4,74$. Смешение в нижней полуплоскости происходит на интервале $t = 20-40$. Толщина верхнего горячего пристеночного слоя составляет $0,034L$, нижнего — $0,023L$, толщина пристеночных слоев в среднем по времени не растет.

Диаграмма $\langle W \rangle_S$ свидетельствует о существовании сильных вихрей во всем поперечном сечении канала, в особенности на участке $t = 16-50$. График $\langle V \rangle_S$ демонстрирует

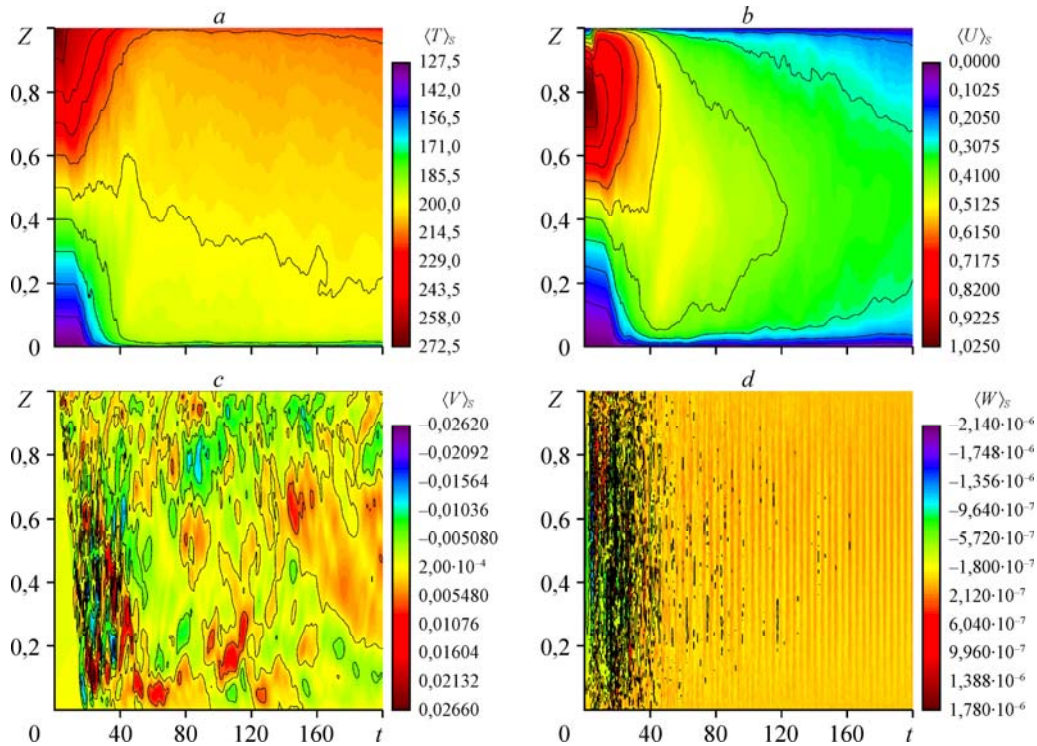


Рис. 10. Z-t-диаграммы профилей температуры $\langle T \rangle_S$ (a) и компонент скорости $\langle U \rangle_S$ (b), $\langle V \rangle_S$ (c), $\langle W \rangle_S$ (d) в случае турбулентного режима при числе Рейнольдса $Re_1 = 4704$ на сетке 128^3 .

развитие течения в направлении, поперечном основному потоку. В различных слоях сечения осредненное течение направлено в противоположные стороны, что, в силу двумерности шума в начальных условиях, может свидетельствовать о существовании поперечных сдвиговых слоев. Интенсивность среднего течения также резко возрастает в интервале смещения и падает при $t \approx 60$, что может служить косвенным подтверждением разрушения слоистого течения и потери связи с исходными начальными условиями.

Форма профиля скорости основного течения $\langle U \rangle_S$ сохраняется до $t \approx 4$, а затем в слое $0,85-1,0$ наблюдается его деформация, связанная с ускорением в пристеночной зоне и замедлением жидкости ближе к ядру потока. Далее происходит разрушение самого ядра потока и падение максимальной скорости. При этом участок профиля $y \in [0, 0,6]$ с точкой перегиба остается неизменным до $t \approx 10$, впоследствии он разрушается в интервале $t \approx 10-20$, что приводит к образованию переходного профиля скорости в виде наклонной прямой, которая в дальнейшем эволюционирует к П-образному турбулентному профилю скорости.

Выводы

Результаты численного моделирования напорного течения термовязкой жидкости в плоском слое, представляющем кубическую область, периодически продолженную в двух направлениях, а в третьем — ограниченную стенками с различной температурой,

показывает существование принципиально отличающихся режимов течения. Первый из них реализуется при относительно небольших среднemasсовых числах Рейнольдса Re_1 и связан с перестройкой неустойчивого ламинарного профиля под воздействием трехмерных возмущений в профиль без точки перегиба, отличающийся более высокими расходными характеристиками. Во втором случае происходит турбулизация течения с ускоренной диссипацией, приводящей к кратному уменьшению кинетической энергии и активной генерации завихренности.

В заключение следует сделать несколько замечаний относительно проведенного моделирования. В самом общем случае для успешного моделирования завихренных (турбулентных) течений необходимо подобрать численный метод, сочетающий экономичность расчета с хорошими дисперсионными и диссипативными свойствами, сгенерировать шум с требуемыми свойствами, провести расчет на максимально подробных сетках, обеспечивающих (по возможности) разрешение вплоть до самых мелких масштабов, а затем применить набор цифровых фильтров для теоретического анализа течения. Термин «цифровой фильтр» понимается в обобщенном смысле и включает в себя расчет интегральных характеристик, статистическое усреднение, выполнение спектрального разложения (преобразования Фурье). В свете этого следует явным образом указать на некоторые методологические отклонения от этой последовательности, допущенные в настоящей работе.

1. Наложение специфических условий с сохранением градиента давления приводит к существенному занижению числа Куранта, необходимого для осуществления расчета. Повышение CFL приводит к тому, что выражение под логарифмом в инвариантах Римана становится отрицательным. Указанный недостаток следует относить на счет текущей реализации.

2. Используемый численный метод является явным, поэтому трудоемкость расчета на мелких сетках растет как N^4 , где N — число точек расчетной сетки по одному направлению, что существенно увеличивает продолжительность расчета даже при использовании суперкомпьютеров.

3. Использование шума различной интенсивности для одного и того же числа Рейнольдса на различных сетках несомненно вредит математической строгости, однако позволяет определиться с характером течения в более широком диапазоне параметров и должно влиять на течение только до перехода к турбулентности, так как трехмерная турбулентность должна иметь достаточно короткую историю, быстро «забывать» о свойствах возмущений. Кроме того, нет однозначного ответа на вопрос, являются ли интенсивность возмущения и его длина корреляции достаточными параметрами, однозначно определяющими эволюцию течения на всех участках (особенно на этапе перехода к турбулентности) или для смены режима течения достаточно локальной амплитуды возмущения. В случае генерации случайного шума на мелкой сетке и последующих выборок из него для более грубых сеток набор данных также будет отличаться: в одних из них будут существовать точки с амплитудой, превышающей некоторый критический уровень, необходимый для перестройки потока, а в других — нет. В настоящей работе характеристики шума определялись на основе характерной длины корреляции, а также интенсивности шума по направлениям X и Y , однако вопрос о других статистических свойствах фильтрованного распределения пульсаций скорости остался в стороне, в частности, о средних значениях интенсивности, полученных по ансамблю реализаций, а также об их дисперсии.

4. Множественность настроечных параметров для корреляционного фильтра затрудняет сравнительный анализ переходных режимов, в том числе на этапе крупномасштабного смешения.

5. Чрезвычайно долгий процесс установления течения, вероятно, обусловлен использованием приближения слабой сжимаемости.

Список литературы

1. McDonough J.M. Introductory lectures on turbulence // CreateSpace Independent Publishing Platform. 2014. 180 p.
2. Монин А.С. О природе турбулентности // Успехи физических наук. 1978. Т. 21, № 5. С. 429–442.
3. Головизнин В.М., Самарский А.А. Разностная аппроксимация конвективного переноса с пространственным расщеплением временной производной // Математическое моделирование. 1998. Т. 10, № 1. С. 86–100.
4. Головизнин В.М., Самарский А.А. Некоторые свойства разностной схемы «КАБАРЕ» // Математическое моделирование. 1998. Т. 10, № 1. С. 101–166.
5. Karabasov S.A., Goloviznin V.M. Compact accurately boundary adjusting high-resolution technique for fluid dynamics // J. of Computational Physics. 2009. Vol. 229, No. 19. P. 7426–7451.
6. Головизнин В.М., Карабасов С.А., Козубская Т.К., Максимов Н.В. Схема «КАБАРЕ» для численного решения задач аэроакустики: обобщение на линеаризованные уравнения Эйлера в одномерном случае // Журн. вычисл. математики и мат. физики. 2009. Т. 49, № 12. С. 2265–2280.
7. Ivanov M.F., Kiverin A.D., Pinevich S.G., Yakovenko I.S. Application of dissipation-free numerical method CABARET for solving gasdynamics of combustion and detonation // J. of Physics: Conference Series. 2016. Vol. 754, Iss. 10. P. 102003.
8. Глотов В.Ю., Головизнин В.М. Схема «КАБАРЕ» для двумерной несжимаемой жидкости в переменных «функция тока–завихренность» // Математическое моделирование. 2011. Т. 23, № 9. С. 89–104.
9. Potter M.C., Graber E.J. Stability of plane Poiseuille flow with heat transfer // Physics of Fluids. 1972. Vol. 15, No. 3. P. 387–391.
10. Wall D.P., Wilson S.K. The linear stability of channel flow of fluid with temperature-dependent viscosity // J. of Fluid Mechanics. 1996. Vol. 323. P. 107–132.
11. Урманчев С.Ф. Течение термовязких сред // Вестник Нижегородского ун-та им. Н.И. Лобачевского. 2011. Т. 3, № 4. С. 1197–1199.
12. Taguelmimt N., Danaila L., Hadjadj A. Effects of viscosity variations in temporal mixing layer // Flow, Turbulence and Combustion. 2016. Vol. 96, № 1. P. 163–181.
13. Voivenel L., Varea E., Danaila L., Renou B., Cazalens M. Variable viscosity jets: entrainment and mixing process // Whither Turbulence and Big Data in the 21st Century? / Ed. A. Pollard, L. Castillo, L. Danaila, M. Glauser. Springer International Publishing, 2017. P. 147–162.
14. Низамова А.Д., Киреев В.Н., Урманчев С.Ф. Об устойчивости ламинарного режима течения термовязких жидкостей // Вестник Тюменского гос. ун-та. Физико-математическое моделирование. Нефть, газ, энергетика. 2015. Т. 1, № 2. С. 104–111.
15. Kulikov Yu.M., Son E.E. Fluid flow with abrupt viscosity-temperature dependence // High Temperature. 2014. Vol. 52, No. 5. P. 723–729.
16. Kulikov Y.M., Son E.E. Stability of thermoviscous fluid flow under high temperature gradients // High Temperature. 2017. Vol. 55, No. 1. P. 131–138.
17. Куликов Ю.М., Сон Э.Е. Об устойчивости течения термовязкой жидкости в канале // Теплофизика и аэромеханика. 2017. Т. 24, № 6. С. 909–928.
18. Kulikov Yu.M., Son E.E. Kelvin–Helmholz instability in thermoviscous free shear flow // J. of Physics: Conference Series. 2018. Vol. 946. P. 012075.
19. Campbell I.H., Turner J.S. The influence of viscosity on fountains in magma chambers // J. of Petrology. 1986. Vol. 27, No. 1. P. 1–30.
20. Kulikov Yu.M., Son E.E. Taylor-Green vortex simulation using CABARET scheme in a weakly compressible formulation // European Physical Journal. E. 2018. Vol. 41. P. 41.
21. Kulikov Y.M., Son E.E. The CABARET method for a weakly compressible fluid flows in one- and two-dimensional implementations // J. of Physics: Conference Series. 2016. Vol. 774. P. 012094.
22. Dimotakis P.E. The mixing transition in turbulent flows // J. of Fluid Mechanics. 2000. Vol. 409. P. 69–98.
23. Klein M., Sadiki A., Janicka J. A digital filter based generation of inflow data for spatially developing direct numerical or large eddy simulations // J. of Computational Physics. 2003. Vol. 186, No. 2. P. 652–665.
24. Lund T., Wu X., Squires D. Generation of turbulent inflow data for spatially-developing boundary layer simulations // J. of Computational Physics. 1998. Vol. 140, No. 2. P. 233–258.

25. Курбацкий А.Ф., Курбацкая Л.И. Турбулентная циркуляция над поверхностным источником тепла в устойчиво стратифицированной окружающей среде // Теплофизика и аэромеханика. 2016. Т. 23, № 5. С. 703–719.
26. Lesieur M. Turbulence in fluids. Springer Netherlands, 2008. 563 p.
27. DeWolf I. Divergence-free noise. Martian Labs, 2018. 4 p.
28. Schiavazzi D., Coletti F., Iaccarino G., Eaton J.K. A matching pursuit approach to solenoidal filtering of three-dimensional velocity measurements // J. of Computational Physics. 2014. Vol. 263. P. 206–221.
29. de Silva C.M., Philip J., Marusic I. Minimization of divergence error in volumetric velocity measurements and implications for turbulence statistics // Experiments in Fluids. 2013. Vol. 54, No. 7. P. 1557-1–1557-8.
30. Wang C., Gao Q., Wei R., Li T., Wang J. Weighted divergence correction scheme and its fast implementation // Experiments in Fluids. 2017. Vol. 58. P. 44-1–44-14.
31. Головизнин В.М., Зайцев М.А., Карабасов С.А., Короткин И.Н. Новые алгоритмы вычислительной гидродинамики для многопроцессорных вычислительных комплексов. М: Издательство МГУ, 2013. 532 с.

*Статья поступила в редакцию 13 июня 2018 г.,
после доработки — 27 августа 2018 г.*